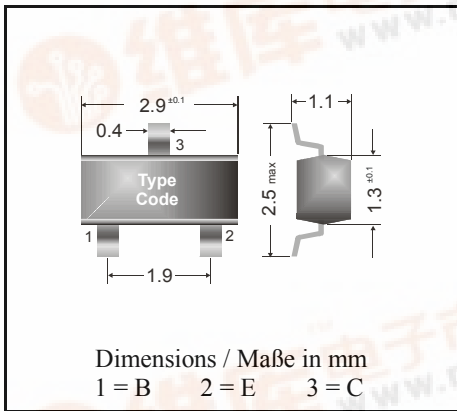


NPN

**Surface mount Si-Epitaxial PlanarTransistors**  
**Si-Epitaxial PlanarTransistoren für die Oberflächenmontage**

NPN



Power dissipation – Verlustleistung	250 mW
Plastic case Kunststoffgehäuse	SOT-23 (TO-236)
Weight approx. – Gewicht ca.	0.01 g
Plastic material has UL classification 94V-0 Gehäusematerial UL94V-0 klassifiziert	
Standard packaging taped and reeled Standard Lieferform gegurtet auf Rolle	

**Maximum ratings ( $T_A = 25^\circ\text{C}$ )****Grenzwerte ( $T_A = 25^\circ\text{C}$ )**

BCW 31, BCW 32, BCW 33		
Collector-Emitter-voltage B open	$V_{CE0}$	32 V
Collector-Base-voltage E open	$V_{CB0}$	32 V
Emitter-Base-voltage C open	$V_{EB0}$	5 V
Power dissipation – Verlustleistung	$P_{tot}$	250 mW <sup>1)</sup>
Collector current – Kollektorstrom (DC)	$I_C$	100 mA
Peak Collector current – Kollektor-Spitzenstrom	$I_{CM}$	200 mA
Peak Base current – Basis-Spitzenstrom	$I_{BM}$	200 mA
Junction temperature – Sperrschiichttemperatur	$T_j$	150°C
Storage temperature – Lagerungstemperatur	$T_S$	- 65...+ 150°C

**Characteristics ( $T_j = 25^\circ\text{C}$ )****Kennwerte ( $T_j = 25^\circ\text{C}$ )**

	Min.	Typ.	Max.
Collector-Base cutoff current – Kollektorreststrom $I_E = 0, V_{CB} = 32 \text{ V}$	$I_{CB0}$	–	100 nA
$I_E = 0, V_{CB} = 32 \text{ V}, T_j = 100^\circ\text{C}$	$I_{CB0}$	–	10 $\mu\text{A}$
Emitter-Base cutoff current – Emitterreststrom $I_C = 0, V_{EB} = 5 \text{ V}$	$I_{EB0}$	–	100 nA
Collector saturation volt. – Kollektor-Sättigungsspg. <sup>2)</sup> $I_C = 10 \text{ mA}, I_B = 0.5 \text{ mA}$	$V_{CESat}$	–	120 mV
$I_C = 50 \text{ mA}, I_B = 5 \text{ mA}$	$V_{CESat}$	–	250 mV
			–

<sup>1)</sup> Mounted on P.C. board with 3 mm<sup>2</sup> copper pad at each terminalMontage auf Leiterplatte mit 3 mm<sup>2</sup> Kupferbelag (Löt pad) an jedem Anschluß<sup>2)</sup> Tested with pulses  $t = 300 \mu\text{s}$ , duty cycle < 2% – Gemessen mit Impulsen  $t = 300 \mu\text{s}$ , Schaltverhältnis < 2%

Characteristics ( $T_j = 25^\circ\text{C}$ )Kennwerte ( $T_j = 25^\circ\text{C}$ )

		Min.	Typ.	Max.
Base saturation voltage – Basis-Sättigungsspannung <sup>1)</sup>				
$I_C = 10 \text{ mA}, I_B = 0.5 \text{ mA}$	$V_{BEsat}$	–	750 mV	–
$I_C = 50 \text{ mA}, I_B = 2.5 \text{ mA}$	$V_{BEsat}$	–	850 mV	–
DC current gain – Kollektor-Basis-Stromverhältnis <sup>1)</sup>				
$V_{CE} = 5 \text{ V}, I_C = 10 \mu\text{A}$	$BCW\ 31$ $h_{FE}$	–	190	–
$V_{CE} = 5 \text{ V}, I_C = 2 \text{ mA}$	$BCW\ 32$ $h_{FE}$	–	330	–
	$BCW\ 33$ $h_{FE}$	–	600	–
$V_{CE} = 5 \text{ V}, I_C = 2 \text{ mA}$	$BCW\ 31$ $h_{FE}$	110	–	220
	$BCW\ 32$ $h_{FE}$	200	–	450
	$BCW\ 33$ $h_{FE}$	420	–	800
Base-Emitter voltage – Basis-Emitter-Spannung <sup>1)</sup>				
$V_{CE} = 5 \text{ V}, I_C = 2 \text{ mA}$	$V_{BEon}$	550 mV	–	700 mV
Gain-Bandwidth Product – Transitfrequenz				
$V_{CE} = 5 \text{ V}, I_C = 10 \text{ mA}, f = 100 \text{ MHz}$	$f_T$	100 MHz	–	–
Collector-Base Capacitance – Kollektor-Basis-Kapazität				
$V_{CB} = 10 \text{ V}, I_E = i_e = 0, f = 1 \text{ MHz}$	$C_{CBO}$	–	2.5 pF	–
Noise figure – Rauschzahl				
$V_{CE} = 5 \text{ V}, I_C = 200 \mu\text{A}, R_G = 2 \text{ k}\Omega,$ $f = 1 \text{ kHz}, \Delta f = 200 \text{ Hz}$	F	–	–	10 dB
Thermal resistance junction to ambient air Wärmewiderstand Sperrsicht – umgebende Luft		$R_{thA}$		420 K/W <sup>2)</sup>
Recommended complementary PNP transistors Empfohlene komplementäre PNP-Transistoren			BCW 29, BCW 30	
Marking – Stempelung	BCW 31 = D1	BCW 32 = D2	BCW 33 = D3	

<sup>1)</sup> Tested with pulses  $t_p = 300 \mu\text{s}$ , duty cycle  $\leq 2\%$  – Gemessen mit Impulsen  $t_p = 300 \mu\text{s}$ , Schaltverhältnis  $\leq 2\%$ <sup>2)</sup> Mounted on P.C. board with  $3 \text{ mm}^2$  copper pad at each terminalMontage auf Leiterplatte mit  $3 \text{ mm}^2$  Kupferbelag (Lötpad) an jedem Anschluß